

УДК 538.61 : 553.637

## МАГНИТООПТИЧЕСКИЙ ЭФФЕКТ В БОРАТЕ ЖЕЛЕЗА

Н. М. Саланский, Ю. М. Федоров, А. А. Лексиков и В. В. Руденко

Рассмотрено изменение поляризации электромагнитной волны при прохождении пластинок бората железа под углом к оптической оси. рассчитаны угол поворота большой оси эллипса поляризации и изменение эллиптичности при перемагничивании. Найдены точные зависимости эффекта Фарадея от толщины образца, угла падения и ориентации плоскости поляризации падающего света. Экспериментальные данные подтверждают полученные результаты.

Специфика роста монокристаллов бората железа и их магнитная симметрия позволяют наблюдать фарадеевское вращение только под углом к оптической оси, которая нормальна намагниченности и плоскости образца [1]. В этих условиях сказываются одновременно двупреломление, обусловленное кристаллической симметрией, и эффект Фарадея, что приводит кискаженным значениям величины вращения плоскости поляризации и нелинейной зависимости фарадеевского угла поворота от длины оптического пути [2]. Существующие теории фарадеевского эффекта в анизотропных средах [3-6] разработаны для частных случаев падения ортогональных линейно поляризованных колебаний, использование которых затрудняет интерпретацию магнитооптических явлений, происходящих в магнитоупорядоченных средах с доменной структурой [7]. В настоящей работе изучен эффект Фарадея в борате железа при распространении света под углом к оптической оси для произвольной ориентации плоскости поляризации падающего света.

Рассмотрим распространение света в прозрачных магнитоупорядоченных кристаллах тритональной симметрии. Пусть оптическая ось совпадает с осью  $z$ , а магнитный момент направлен вдоль оси  $y$ . Тогда тензор диэлектрической проницаемости имеет вид

$$\epsilon = \begin{pmatrix} \epsilon_x & 0 & i\gamma \\ 0 & \epsilon_y & 0 \\ -i\gamma & 0 & \epsilon_z \end{pmatrix}. \quad (1)$$

Недиагональный элемент  $\gamma$  пропорционален намагниченности. Положим для простоты  $|\epsilon_z - \epsilon_y| \ll (\epsilon_z + \epsilon_y)/2$  и  $\epsilon_x \approx \epsilon_y$ , т. е. двупреломление меньше показателя преломления, а анизотропия, наводимая магнитным моментом, пренебрежимо мала.

Пусть в плоскости  $(z, y)$  под углом  $\Theta$  к оптической оси распространяется плоская волна. Повернем систему координат вокруг оси  $x$  таким образом, чтобы ось  $z'$  совпала с направлением распространения. Тогда из решения уравнений Maxwella с тензором (1), записанным в новых координатах, легко получить значения волнового вектора

$$k_{\pm}^2 = \frac{\omega^2}{2} (\epsilon_x + \epsilon_{\Theta} \pm \epsilon'), \quad (2)$$

$\omega$  — круговая частота распространяющихся колебаний,

$$\epsilon_{\Theta} = \frac{\epsilon_x \epsilon_z}{\epsilon_z - (\epsilon_z - \epsilon_x) \sin^2 \Theta}, \quad \epsilon' = \left[ (\epsilon_x - \epsilon_{\Theta})^2 + \frac{4\epsilon_x \gamma^2 \sin^2 \Theta (\epsilon_x - \epsilon_{\Theta} \cos^2 \Theta)}{\gamma^2 \cos^4 \Theta + \epsilon_x^2 \sin^2 \Theta} \right]^{1/2}.$$

Используя метод нормальных колебаний [8, 9], найдем матрицу, описывающую изменение относительной фазы и амплитуды компонент вектора электрической индукции, при распространении вдоль оси  $z'$ ,

$$\begin{pmatrix} D_x \\ D_{y'} \end{pmatrix}_{z'=l} = \begin{pmatrix} F \exp iB & R \sin \frac{\Phi}{2} \\ LCR \sin \frac{\Phi}{2} & F \exp -iB \end{pmatrix} \begin{pmatrix} D_x \\ D_{y'} \end{pmatrix}_{z'=0}, \quad (3)$$

$$F = \left[ \cos^2 \frac{\Phi}{2} + \left( \frac{L+C}{L-C} \right)^2 \sin^2 \frac{\Phi}{2} \right]^{1/2}, \quad B = \arctg \left( \frac{L+C}{L-C} \operatorname{tg} \frac{\Phi}{2} \right), \quad \Phi = (k_+ - k_-) z',$$

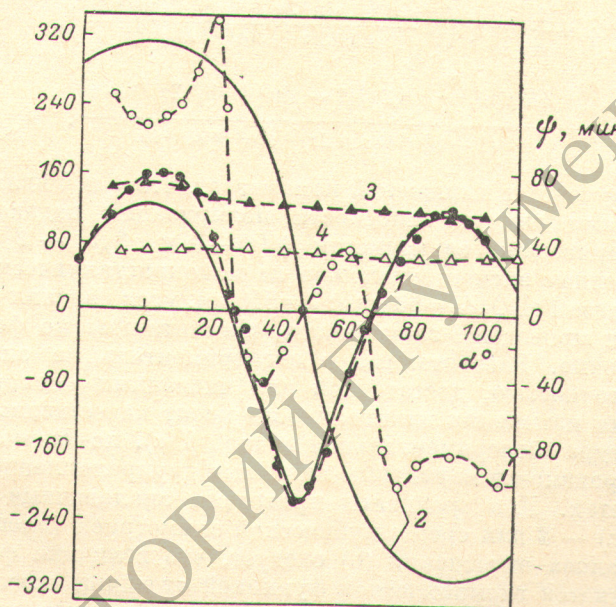
$$C = \frac{(\varepsilon_\theta \varepsilon_x \sin^2 \Theta + \gamma^2 \cos^2 \Theta)(\varepsilon_\theta - \varepsilon_x + \varepsilon') + 2\gamma^2 (\varepsilon_x - \varepsilon_\theta \cos^2 \Theta)}{(\varepsilon_x + \varepsilon_\theta + \varepsilon') \gamma \sin \Theta (\varepsilon_x - \varepsilon_\theta \cos^2 \Theta)},$$

$$L = \frac{(\varepsilon_\theta \varepsilon_x \sin^2 \Theta + \gamma^2 \cos^2 \Theta)(\varepsilon_\theta - \varepsilon_x - \varepsilon') + 2\gamma^2 (\varepsilon_x - \varepsilon_\theta \cos^2 \Theta)}{(\varepsilon_x + \varepsilon_\theta - \varepsilon') \gamma \sin \Theta (\varepsilon_x - \varepsilon_\theta \cos^2 \Theta)},$$

$$R = \frac{2}{L-C}.$$

Легко видеть, что полученная матрица в соответствии с предыдущими результатами [9, 10] антисимметрична при  $\Theta = \pi/2$  и диагональна при

$\beta, \text{ мсн}$



Зависимости фарадеевского вращения  $\psi$  (1, 3) и изменение эллиптичности  $\beta$  (2, 4) от азимута плоскости поляризации падающего света.

1, 2 —  $\text{FeBO}_3$ ; 3, 4 —  $\text{MgFe}_2\text{O}_4$ . Сплошные кривые — кривые, рассчитанные по выражениям (6, 7) соответственно.

$\Theta=0$ . Однако при распространении света под углом к намагниченности недиагональные элементы не равны по абсолютной величине, поэтому вращение плоскости поляризации для падающей электромагнитной волны с начальной ориентацией вектора электрической индукции в плоскости падения и нормально ей неодинаково. Если при получении (3) пренебречь величинами  $\gamma^2$ , то  $CL=-1$  и матрица антисимметрична для произвольного угла, т. е. из качественного рассмотрения следует, что анизотропия фарадеевского вращения обусловлена эффектом, квадратичным по намагниченности, который, как следует из экспериментальной кривой 1 (см. рисунок), дает небольшое различие в углах поворота плоскости поляризации при перемагничивании для  $\alpha=0^\circ$  и  $\alpha=90^\circ$ .

Пусть в точке  $z'=0$  вектор электрической индукции падающего света имеет единичную амплитуду и азимут относительно оси  $x$  равный  $\alpha$ , тогда, определив его компоненты в точке  $z'=l$ , из (3) легко найти азимут большой оси эллипса поляризации  $\varphi$  и эллиптичность  $\operatorname{tg} \nu$  прошедшего света [11]

$$\operatorname{tg} 2\varphi = \frac{\cos \Phi \sin 2\alpha - R \sin \Phi \cos 2\alpha}{\cos 2\alpha + R \sin \Phi \sin 2\alpha}, \quad (4)$$

$$\operatorname{tg} \nu = \frac{1 - \left(1 - \sin^2 \Phi \sin 2\alpha + 2R \sin \Phi \sin^2 \frac{\Phi}{2} \sin 4\alpha\right)^{1/2}}{\sin \Phi \sin 2\alpha - 2R \sin^2 \frac{\Phi}{2} \cos 2\alpha}. \quad (5)$$

При инверсии намагнченности изменяется только знак  $R$ , поэтому из выражений (4), (5) следует, что абсолютные величины  $\varphi$  и  $\operatorname{tg} \nu$  совпадают для противоположных направлений намагнченности только при  $\alpha=0, \pi/4, \pi/2$ . Таким образом, знак намагнченности в одноосных кристаллах определяет не только знак угла поворота, но и его величину. Из (4), (5) можно получить изменение азимута большой оси эллипса поляризации  $\psi$  и эллиптичности  $\beta$  при перемагничивании образца

$$\psi = \frac{1}{2} \operatorname{arc} \operatorname{tg} \left( R \frac{\sin 2\Phi \sin^2 2\alpha + 2 \sin \Phi \cos^2 2\alpha}{\cos^2 2\alpha + \cos^2 \Phi \sin^2 2\alpha} \right), \quad (6)$$

$$\beta = \frac{4R \sin^2 \frac{\Phi}{2} \cos 2\alpha [(1 - \sin^2 \Phi \sin^2 2\alpha)^{1/2} - 1]}{(1 - \sin^2 \Phi \sin 2\alpha)^{1/2} \sin^2 \Phi \sin^2 2\alpha}. \quad (7)$$

Анализ полученных выражений показывает, что  $\psi$  и  $\beta$  являются сложными функциями азимута плоскости поляризации падающего света. На рисунке приведены зависимости  $\psi(\alpha) — 1$  и  $\beta(\alpha) — 2$  (штриховые линии), полученные экспериментально на монокристаллических пластинах бората железа  $\text{FeBO}_3$  ( $d=60$  мкм;  $\lambda=510$  нм, угол падения  $45^\circ$ ). Сплошными кривыми проведены зависимости, рассчитанные по формулам (6), (7) соответственно. Рассчитанные и экспериментальные значения  $\psi(\alpha)$  совпадают с точностью, достаточной для численных оценок вращения. Совпадение для изменения эллиптичности носит качественный характер. Тонкая структура экспериментальной кривой  $\beta(\alpha)$ , по-видимому, вызвана круговым дихроизмом и магнитным линейным двупреломлением, не учтенными в расчетах. Для сравнения приведены аналогичные зависимости  $\psi(\alpha) — 3, \beta(\alpha) — 4$  для сред с кубической симметрией (пленка Mg шпинели). Из анализа выражения (6) следует, что величина фарадеевского вращения является гармонической функцией от длины оптического пути только для  $\alpha=0, \pi/2$ . При других  $\alpha$  угол поворота может достигать больших значений, однако это явление происходит при  $\Phi \approx \pi/2$ , поэтому сопровождается значительным увеличением эллиптичности (5), что в конечном счете приводит к уменьшению амплитудной модуляции интенсивности при перемагничивании.

Таким образом, рассчитан и экспериментально изучен эффект Фарадея в одноосных кристаллах  $\text{FeBO}_3$  при распространении света под произвольным углом к намагнченности. Показана асимметрия вращения и эллиптичности относительно азимута плоскости поляризации падающего света, возникающая из-за неравнозначности вкладов анизотропии и гиротропии в эффект Фарадея. Найден явный вид зависимостей вращения и изменения эллиптичности при перемагничивании для различных ориентаций вектора электрической индукции в падающем свете.

#### Литература

- [1] R. Wolfe, A. J. Kurtzig, R. C. Le Craw. J. Appl. Phys., 41, 1218, 1970.
- [2] A. J. Kurtzig. J. Appl. Phys., 42, 494, 1971.

- [3] G. N. Ramachandran, S. Ramasechan. J. Opt. Soc. Am., 42, 49, 1952.
- [4] B. Donovan, J. Webster. Proc. Phys. Soc., 79, 46, 1965.
- [5] В. В. Карапзин, В. К. Милославский. Опт. и спектр., 37, 78, 1969.
- [6] А. Ф. Константинова, И. Р. Иванов, Б. Н. Гречушников. Кристаллография, 14, 283, 1969.
- [7] Н. М. Саланский, Ю. М. Федоров. Письма ЖЭТФ, 18, 565, 1973.
- [8] Л. Д. Ландау, Е. М. Лифшиц. Механика, 89. Изд. «Наука», М., 1973.
- [9] W. J. Tabor, F. S. Chen. J. Appl. Phys., 40, 2760, 1969.
- [10] L. Jastrzebski. Phys. Stat. Sol. (a), 21, 57, 1974.
- [11] Л. Д. Ландау, Е. М. Лифшиц. Теория поля, 157. Изд. «Наука», М., 1967.

Поступило в Редакцию 2 апреля 1975 г.